CENTRO UNIVERSITÁRIO ASSIS GURGACZ MURILO AMÉRICO ALVES

DIMENSIONAMENTO ESTRUTURAL: COMPARATIVO DO MÉTODO MANUAL DE CÁLCULO COM O SOFTWARE EBERICK EM UMA RESIDÊNCIA

CENTRO UNIVERSITÁRIO ASSIS GURGACZ MURILO AMÉRICO ALVES

DIMENSIONAMENTO ESTRUTURAL: COMPARATIVO DO MÉTODO MANUAL DE CÁLCULO COM O SOFTWARE EBERICK EM UMA RESIDÊNCIA

Trabalho apresentado na disciplina de Trabalho de Conclusão de Curso II, do Curso de Engenharia Civil, do Centro Universitário Assis Gurgacz, como requisito parcial para obtenção do título de Bacharel em Engenharia Civil.

Professora Orientadora: Mestre Eng. Civil Maria Vânia Nogueira do Nascimento Peres

CENTRO UNIVERSITÁRIO FAG

MURILO AMÉRICO ALVES

DIMENSIONAMENTO ESTRUTURAL: ESTUDO COMPARATIVO DO MÉTODO MANUAL DE CÁLCULO COM O SOFTWARE *EBERICK* EM UMA RESIDÊNCIA

Trabalho apresentado no Curso de Engenharia Civil, do Centro Universitário Assis Gurgacz, como requisito parcial para obtenção do título de Bacharel em Engenharia Civil, sob orientação da Professora Mestre Engenheira Civil MARIA VÂNIA NOGUEIRA DO NASCIMENTO PERES.

BANCA EXAMINADORA

Orientadora Prof^a. Mestre Maria Vânia Nogueira do Nascimento Peres Centro Universitário Assis Gurgacz Engenharia Civil

> Professora Mestre Andrea Resende de Souza Centro Universitário Assis Gurgacz Engenharia Civil

Professor Especialista Lincoln Salgado Centro Universitário Assis Gurgacz Engenharia Civil

Cascavel, 20 de novembro de 2017.

AGRADECIMENTOS

A minha orientadora, pelo suporte, atenção, paciência e compartilhamento do saber durante a elaboração deste trabalho.

A minha família, pelo incentivo, apoio e oportunidade de trilhar este caminho acadêmico.

A todos que de forma direta ou indireta, fizeram parte da minha formação, o meu muito obrigado.

RESUMO

Através do projeto arquitetônico de uma residência unifamiliar de dois pavimentos, pretendese aplicar o método manual de cálculo seguindo as recomendações normativas referentes a dimensionamento e detalhamento de estruturas e comparar com o dimensionamento utilizando o *software "Eberick"*, da empresa AltoQi. Notou-se com este trabalho, através da comparação dos resultados dos dimensionamentos realizados, que ambas as metodologias atendem as demandas de segurança previstas em norma, observou-se também que o *software* apresenta um quantitativo de 12,42% a mais em quilogramas de aço, porém, maior produtividade.

Palavras-chave: Software. Cálculo estrutural. NBR 6118. Quantitativos de Aço.

LISTA DE FIGURAS

Figura 01 – Resistência à compressão característica (fck) – Grupo I	15
Figura 02 – Resistência à compressão característica (fck) – Grupo II	15
Figura 03 – Valores de <i>Yc</i> e <i>Ys</i>	16
Figura 04 – Valores estimados de módulo de elasticidade em função da resis	tência
característica à compressão do concreto (considerando o uso de granito como agr	egado
graúdo)	18
Figura 05 – Diagrama tensão-deformação idealizado	19
Figura 06 - Diâmetros nominais dos fios e barras utilizados em estruturas de con	ncreto
armado	20
Figura 07 – Coeficiente de conformação superficial	20
Figura 08 – Classes de agressividade ambiental	22
Figura 09 - Relação entre a classe de agressividade do ambiente e os parâmetros mí	nimos
para qualidade do concreto	23
Figura 10 – Correlação entre a classe de agressividade e o cobrimento nominal	24
Figura 11 – Valores do coeficiente de majoração para pilares	26
Figura 12 – Detalhamento da viga 16 – Cálculo manual	35
Figura 13 – Detalhamento da viga 7 – <i>Eberick</i>	35
Figura 14 – Detalhamento do pilar P6 – Cálculo manual	36
Figura 15 – Detalhamento do pilar P8 – <i>Eberick</i>	37
Figura 16 – Gráfico do quantitativo de aço entre os métodos de dimensionamento	e os
elementos estruturais	38

LISTA DE TABELAS

Tabela 01 – Dados do projeto	32
Tabela 02 – Dados dos revestimentos	32
Tabela 03 - Quantitativo de aço das estruturas de concreto armado no cálculo	manual e
computacional	38

LISTA DE EQUAÇÕES

Equação 01 – Resistência à compressão de cálculo	16
Equação 02 – Resistência à tração característica até C50	17
Equação 03 – Resistência à tração de cálculo	17
Equação 04 — Módulo de elasticidade para C20 a C50	18
Equação 05 — Módulo da deformação secante	18
Equação 06 – Coeficiente αi	18
Equação 07 – Resistência característica do aço	21
Equação 08 – Resistência de cálculo do aço	21

SUMÁRIO

CAPÍTULO 1	11
1.1 INTRODUÇÃO	11
1.2 OBJETIVOS	12
1.2.1 Objetivo Geral	12
1.2.2 Objetivos Específicos	12
1.3 JUSTIFICATIVA	12
1.4 FORMULAÇÃO DO PROBLEMA	13
1.5 FORMULAÇÃO DA HIPÓTESE	13
1.6 DELIMITAÇÃO DA PESQUISA	13
CAPÍTULO 2	14
2.1 REVISÃO BIBLIOGRÁFICA	14
2.1.1 Concreto Armado	14
2.1.2 Características Mecânicas do Concreto	15
2.1.2.1 Resistência à compressão característica $-fck$	15
2.1.2.2 Resistência à compressão de cálculo $-fcd$	16
2.1.2.3 Resistência à tração característica–fctk	16
2.1.2.4 Resistência à tração de cálculo $-fctd$	17
2.1.2.5 Módulo de elasticidade e deformação – Eci - Ecs	17
2.1.2.6 Diagrama tensão- deformação – compressão	18
2.1.3 Características Mecânicas do Aço	19
2.1.3.1 Tipos de aço	19
2.1.3.2 Tipos de superfícies aderentes	20
2.1.3.3 Módulo de elasticidade	21
2.1.3.4 Resistência característica do aço – fyk	21
2.1.3.5 Resistência de cálculo do aço –fyd	21
2.1.4 Requisitos Gerais de Qualidade da Estrutura	22
2.1.4.1 Durabilidade	22
2.1.4.2 Agressividade do ambiente	22
2.1.4.3 Qualidade do concreto	23
2.1.4.4 Cobrimento da armadura passiva	23
2.1.5 Cargas nas Estruturas	24
2.1.5.1 Cargas permanentes - <i>gk</i>	24

2.1.5.2 Cargas acidentais - qk	25
2.1.6 Cálculo Estrutural	25
2.1.6.1 Laje	25
2.1.6.2 Viga	26
2.1.6.3 Pilar	26
2.1.6.4 Escada	27
2.1.6.5 Reservatório	27
2.1.7 Estados Limites	27
2.1.7.1 Estado limite último – ELU	27
2.1.7.2 Estado limite de serviço- ELS	27
2.1.9 Software Eberick	28
CAPÍTULO 3	29
3.1 METODOLOGIA	29
3.1.1 Sequência do Estudo.	29
3.1.2 Projeto Arquitetônico	30
3.1.3 Pré-dimensionamento	30
3.1.4 Dados do Projeto	31
3.1.5 Cálculo Estrutural	33
3.1.6 Análise dos Dados	33
CAPÍTULO 4	34
4.1 RESULTADOS E DISCUSSÕES	34
4.1.1 Laje	34
4.1.2 Viga	34
4.1.3 Pilar	36
4.1.4 Escada	37
4.1.5 Reservatório Elevado	37
4.1.6 Quantitativo Geral da Edificação	
CAPÍTULO 5	40
5.1 CONCLUSÃO	40
CAPÍTULO 6	41
6.1 SUGESTÃO PARA TRABALHOS FUTUROS	
REFERÊNCIAS	42
APÊNDICE A	43
APÊNDICE B	44

APÊNDICE C	45
APÊNDICE D	46
APÊNDICE E	47
APÊNDICE F	48
APÊNDICE G	49
APÊNDICE H	50
APÊNDICE I	51
ANEXO A	52
ANEXO B	

CAPÍTULO 1

1.1 INTRODUÇÃO

As interações entre aço e concreto formam o material estrutural mais utilizado na Engenharia Civil, o concreto armado, atualmente é a solução construtiva mais empregada na construção civil brasileira. A combinação desses materiais se torna vantajosa devido ao fato de o concreto possuir baixa resistência aos esforços de tração e alta resistência aos esforços de compressão, enquanto o aço apresenta alta resistência à tração e baixa resistência à compressão.

O projeto estrutural em concreto armado se caracteriza como um dos projetos mais importantes de uma edificação, ele engloba segurança, conforto, estética e economia para a obra, o projeto deve atender as mínimas condições de segurança impostos pela ABNT (Associação Brasileira de Normas Técnicas).

Segundo Albuquerque (1999), a evolução do processo construtivo começa pela qualidade dos projetos, e entre os projetos elaborados para a construção civil, destaca-se o estrutural. O projeto estrutural, individualmente, responde pela etapa de maior representatividade no custo total da construção, de 15% a 20% do custo total. Justifica-se então um estudo prévio para a escolha do sistema estrutural a ser adotado, pois se sabe que uma redução de 10% no custo da estrutura pode representar, no custo total, uma diminuição de 2%. Em termos práticos, 2% do custo total corresponde à execução de toda etapa de pintura ou a todos os serviços de movimento de terra, soleiras, rodapés, peitoris e coberta juntos.

Atualmente, é possível fazer uso de *softwares* para o desenvolvimento do cálculo estrutural de uma edificação, estes *softwares* devem atender as mesmas exigências que o cálculo manual, tendo como objetivo facilitar o trabalho do projetista com maior praticidade e velocidade de execução dos projetos.

De acordo Kimura (2007) é praticamente impossível imaginar o dimensionamento de estruturas com grande complexidade sendo desenvolvidos de forma totalmente manual na atualidade, pois existem várias etapas que feitas de forma manual podem levar um tempo suficientemente grande, de forma a comprometer o cronograma do projeto. Por outro lado, é importante salientar que a informatização não veio para substituir os conceitos do cálculo estrutural e sim para aperfeiçoá-los.

O interesse do estudo sobre o tema se deu durante as disciplinas de dimensionamento de estruturas de concreto cursadas na Universidade, com o objetivo de compreender os processos de realização dos cálculos estruturais de forma manual e com uso de *software*, propondo um modelo estrutural de análise com lajes, vigas e pilares, escada e reservatório elevado a fim de verificar sua utilidade em termos de segurança e economia.

1.2 OBJETIVOS

1.2.1 Objetivo Geral

Comparar os resultados obtidos no dimensionamento estrutural de uma residência em concreto armado atendendo aos requisitos da NBR 6118 (ABNT, 2014) utilizando o método de cálculo manual e o *software Eberick*.

1.2.2 Objetivos Específicos

- Realizar o dimensionamento estrutural de uma residência pelo método de cálculo manual;
 - Realizar o dimensionamento estrutural de uma residência com o software Eberick;
 - Comparar as diferenças em relação à quantidade de aço para ambos os métodos.

1.3 JUSTIFICATIVA

A utilização de *softwares* no dimensionamento de estruturas é amplamente difundida no Brasil e no mundo e isso se deve as grandes vantagens que eles fornecem. Em situações reais de projeto de estruturas, o uso de ferramentas computacionais exige responsabilidade e experiência por parte do engenheiro projetista.

Sabe-se que o projeto estrutural corresponde a etapa de maior representatividade do custo de uma obra, em até 20%, conforme especificado por Albuquerque (1999), portanto, é de suma importância que o projetista adote as soluções que atendam os padrões de segurança especificados pelas Normas Brasileiras Regulamentadoras, especificamente a NBR 6118 (ABNT, 2014) e gerem economia para o usuário. Desta forma, este trabalho justifica-se pela

pretensão de aplicar os conhecimentos adquiridos durante a graduação, de forma a verificar estes conhecimentos na prática e a validade da ferramenta de cálculo aplicada.

1.4 FORMULAÇÃO DO PROBLEMA

O cálculo estrutural por meio de *software* atende as exigências mínimas de segurança e traz economia para o projeto?

1.5 FORMULAÇÃO DA HIPÓTESE

A utilização do *software* para o dimensionamento estrutural de uma residência, além de atender as normas de segurança e garantir mais praticidade ao projetista, se mostra mais econômico quando comparado ao método manual de cálculo devido ao fato do método manual possuir diversos coeficientes de segurança para garantir a integridade da estrutura, o que faz com que o gasto com materiais seja maior.

1.6 DELIMITAÇÃO DA PESQUISA

A pesquisa delimita-se a uma edificação de pequeno porte, projeto residencial unifamiliar de dois pavimentos, com estrutura convencional de concreto armado, a ser implantado no centro da cidade de Cascavel – Paraná.

Os cálculos computacionais serão limitados pelo *software AltoQi Eberick*, e as ferramentas que auxiliarão no cálculo manual são *Microsoft Excel*, *Ftool* e *AutoCad*.

Os dois modelos propostos serão desenvolvidos com base na mesma planta arquitetônica, sendo considerado apenas dimensionamento de lajes, vigas e pilares, além de possuírem a mesma concepção estrutural e mesmos parâmetros de entrada, como classe de agressividade do ambiente, resistência à compressão característica, cobrimento nominal, e demais parâmetros que sejam necessários, conforme especificações normativas, para o dimensionamento dos elementos estruturais.

CAPÍTULO 2

2.1 REVISÃO BIBLIOGRÁFICA

Neste Capítulo são abordados os conceitos de concreto armado, as características mecânicas do concreto e aço, os requisitos gerais da qualidade da estrutura, as cargas nas estruturas, projeto estrutural e o *software Eberick* utilizado neste trabalho.

2.1.1 Concreto armado

A NBR 6118 – Projeto de estruturas de concreto: Procedimento (ABNT, 2014), diz que o concreto armado é todo elemento em que seu comportamento estrutural dependa da relação entre o aço e o concreto, e que não seja aplicado nenhum alongamento inicial na armadura do elemento, o que caracteriza a protensão.

Para Araújo (2014), o concreto armado é um elemento composto, proveniente da combinação do concreto com barras de aço posicionadas em seu interior, essa associação é em virtude da baixa resistência a tração do concreto onde as barras de aço possuem a função de absorver estes esforços na estrutura, além de aumentarem a capacidade de carga de peças comprimidas. O desempenho deste conjunto se dá graças a aderência entre os materiais, o concreto protege a armadura da corrosão, enquanto o aço absorve os esforços de tração, impedindo a total fissuração e ruína da estrutura.

Concreto é a mistura de agregados naturais ou britados, com água e cimento, podendo ser adicionados aditivos químicos ou adições minerais, como por exemplo, retardadores ou aceleradores de pega, plastificantes, impermeabilizantes, fillers calcários, que melhoram o desempenho do concreto. A resistência deste elemento depende de seu traço, adensamento, os agregados e aditivos envolvidos (ARAÚJO, 2014).

A armadura utilizada no concreto armado é chamada de "armadura passiva", estas são compostas de barras de aço, para a NBR 6118 (ABNT, 2014), armadura passiva é qualquer armadura que não seja previamente alongada, ou seja, não protendida.

2.1.2 Características Mecânicas do Concreto

2.1.2.1 Resistência à compressão característica – fck

A resistência à compressão é obtida em ensaios de corpos de prova cilíndricos, moldados segundo a NBR 5738 — Concreto: Procedimento para moldagem e cura de corpos de prova (ABNT, 2015) e rompidos como estabelece a NBR 5739 — Concreto: Ensaio de compressão de corpos de prova cilíndrico (ABNT, 2007), ela refere-se à resistência à idade de 28 dias do concreto.

Para a NBR 6118 (ABNT, 2014) os concretos são classificados em dois grupos de acordo com a sua resistência à compressão característica (*fck*), os concretos são designados pela letra "C" seguido de seu valor de resistência aos 28 dias de idade, expressa em megapascal (MPa), conforme as Figuras 01 e 02.

Figura 01: Resistência à compressão característica (fck) – Grupo I.

Tabela 1 - Classes de resistência do grupo I				
Grupo I de resistência	Resistência característica à compressão (MPa)			
C10	10			
C15	15			
C20	20			
C25	25			
C30	30			
C35	35			
C40	40			
C45	45			
C50	50			

Fonte: NBR 6118 (ABNT, 2014).

Figura 02: Resistência à compressão característica (fck) — Grupo II. Tabela 2 - Classes de resistência do grupo II

Grupo II de resistência	Resistência característica à compressão (MPa)
C55	55
C60	60
C70	70
C80	80

Fonte: NBR 6118 (ABNT, 2014).

Segundo Araújo (2014), a resistência à compressão depende de diversos fatores, como, a composição do concreto (traço), as condições ambientais de cura quanto à umidade e temperatura, a velocidade de aplicação da carga, idade de concreto, estado de tensões, forma e dimensões dos corpos de prova.

2.1.2.2 Resistência à compressão de cálculo – fcd

Segundo a NBR 6118 (ABNT, 2014), a resistência à compressão de cálculo (*fcd*) é a resistência característica (*fck*) afetada pelo coeficiente *Vc* e é obtida pela Equação 01.

$$fcd = \frac{fck}{\gamma c} \tag{01}$$

Onde:

fcd – Resistência à compressão de cálculo (MPa)

fck – Resistência à compressão característica (MPa)

Vc − Coeficiente de ponderação do concreto

O valor de Vc, juntamente com Vs pode ser obtido na Figura 03.

Figura 03: Valores de *Vc* e *Vs*.

Combinações	Concreto	Aço
Combinações	γc	γs
Normais	1,4	1,15
Especiais ou de construção	1,2	1,15
Excepcionais	1,2	1,0

Fonte: NBR 6118 (ABNT, 2014).

2.1.2.3 Resistência à tração característica – fctk

A resistência à tração do concreto pode ser determinada através do ensaio de tração axial, compressão diametral e ensaio de flexão, prescritos na NBR 7222 – Concreto e argamassa: Determinação da resistência à tração por compressão diametral de corpos de prova cilíndricos (ABNT, 2011) e NBR 12142 – Concreto: Determinação da resistência à tração na

flexão de corpos de prova prismáticos (ABNT, 2010). Usualmente, a resistência à tração refere-se à resistência à tração axial (*fct*) (ARAÚJO, 2014).

A NBR 6118 (ABNT, 2014) especifica que a resistência à tração axial pode ser considerada através do valor médio ou característico por meio da Equação 02.

- Para concretos de classe até C50:

$$fctk = 0.3 * fck^{\frac{2}{3}} \tag{02}$$

Onde:

fctk – Resistência à tração característica (MPa)

fck – Resistência à compressão característica (MPa)

2.1.2.4 Resistência à tração de cálculo - fctd

A resistência à tração de cálculo segue os mesmos princípios da resistência à compressão de cálculo, calculado, segundo a NBR 6118 (ABNT, 2014), pela Equação 03.

$$fctd = \frac{fctk}{\forall c} \tag{03}$$

Onde:

fctd – Resistência à tração de cálculo (MPa)

fctk – Resistência à tração característica (MPa)

Vc − Coeficiente de ponderação do concreto

2.1.2.5 Módulo de elasticidade e deformação - Eci - Ecs

A NBR 6118 (ABNT, 2014) recomenda a obtenção do módulo de elasticidade através de ensaio estabelecido pela NBR 8522 — Concreto: Determinação do módulo de estático de elasticidade à compressão (ABNT, 2008) que considera o módulo de deformação tangencial inicial obtido aos 28 dias de idade.

É possível estimar o valor do módulo de elasticidade inicial e o módulo de deformação secante através das Equações 04, 05 e 06.

- Para C20 a C50:

$$Eci = \alpha E * 5600 * \sqrt{fck} \tag{04}$$

Onde:

Eci – Módulo de elasticidade (MPa)

fck – Resistência à tração característica (MPa)

 αE – Basalto e diabásio (1,2)

$$Ecs = \alpha i * Eci$$
 (05)

$$\alpha i = 0.8 + 0.2 * \frac{fck}{80} \le 1.0 \tag{06}$$

Onde:

Ecs - Módulo de deformação secante (MPa)

Na Figura 04 são apresentados valores estimados arredondados usuais de projetos estruturais.

Figura 04: Valores estimados de módulo de elasticidade em função da resistência característica à compressão do concreto (considerando o uso de granito como agregado graúdo).

			`						<u> </u>		
Classe de resistência	C20	C25	C30	C35	C40	C45	C50	C60	C70	C80	C90
E _{ci} (GPa)	25	28	31	33	35	38	40	42	43	45	47
E _{cs} (GPa)	21	24	27	29	32	34	37	40	42	45	47
αί	0,85	0,86	0,88	0,89	0,90	0,91	0,93	0,95	0,98	1,00	1,00

Fonte: NBR 6118 (ABNT, 2014).

2.1.2.6 Diagrama tensão-deformação – compressão.

A NBR 6118 (ABNT, 2014), visando estabelecer um critério ao dimensionamento, busca-se, para as diferentes resistências a compressão com que se trabalha na prática, um diagrama ideal, matematicamente definido, o diagrama parábola retângulo, apresentado na Figura 05.

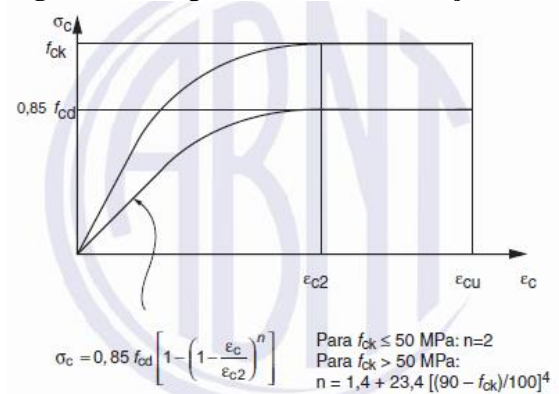


Figura 05: Diagrama tensão-deformação idealizado.

Fonte: NBR 6118 (ABNT, 2014).

São definidos os seguintes valores para $\mathcal{E}c2$ (deformação específica de encurtamento do concreto no início do patamar plástico) e $\mathcal{E}cu$ (deformação específica de encurtamento do concreto na ruptura):

- Para concretos de classes até C50, são os valores:

 $\varepsilon c2 = 2.0 \%_0$

 $\varepsilon cu = 3.5 \%$

2.1.3 Características Mecânicas do Aço

2.1.3.1 Tipos de aço

A NBR 7480 – Aço destinado a armaduras para estruturas de concreto armado: Especificação (ABNT, 2008), recomenda para as estruturas de concreto armado a utilização de aços nas categorias CA-25, CA-50 e CA-60, esta nomenclatura é dada em função do valor característico da tensão de escoamento que será abordado posteriormente.

- Barras (CA-50 e CA-25): Diâmetros maiores que 5,0 mm, obtidas através de laminação quente, não exigindo deformação a frio posteriormente, com patamar de escoamento definido no diagrama tensão-deformação;
- Fios (CA-60): Diâmetros inferiores a 10,0 mm, obtidos através de deformação a frio, sem patamar de escoamento definido no diagrama tensão-deformação.

A Figura 06 apresenta os diâmetros nominais, dados em milímetros (mm) dos fios e barras

Figura 06: Diâmetros nominais dos fios e barras utilizados em estruturas de concreto armado.

Diâmetro nominal (mm)		
Fios	Barras	
2,4		
3,4	-	
3,8	_	
4,2	-	
4,6	-	
5,0	5,0	
5,5	_	
6,0	_	
0	6,3	
6,4	_	
7,0	_	
8,0	8,0	
9,5	-	
10,0	10,0	
-	12,5	
-	16,0	
-	20,0	
-	22,0	
-	25,0	
-	32,0	
-	40,0	

Fonte: NBR 7480 (ABNT, 1996).

2.1.3.2 Tipos de superfícies aderentes

A NBR 6118 (ABNT, 2014) especifica que os fios e barras podem ser lisos ou providos de saliências ou mossas, essas saliências são responsáveis por melhorar a aderência entre o concreto e o aço, para cada categoria de aço a norma estabelece um coeficiente de conformação superficial "η1", apresentado na Figura 07.

Figura 07: Coeficiente de conformação superficial.

Tipo de superfície	η ₁
Lisa	1,0
Entalhada	1,4
Nervurada	2,25

Fonte: NBR 6118 (ABNT, 2014).

2.1.3.3 Módulo de elasticidade

Admite-se o valor do módulo de elasticidade do aço como 210 GPa, na ausência de ensaios ou valores fornecidos pelo fabricante do material (NBR 6118, ABNT, 2014).

2.1.3.4 Resistência característica do aço – fyk

É possível encontrar o valor de *fyk*, através da Equação 07, segundo a NBR 6118 (ABNT, 2014):

$$fyk = fym - 1,65 * s \tag{07}$$

Onde:

fyk – resistência à tração característica de escoamento do aço (MPa)

fym – resistência à tração média de escoamento do aço (MPa)

s – desvio padrão

2.1.3.5 Resistência de cálculo do aço – fyd

Para o cálculo do fyd a NBR 6118 (ABNT, 2014) estabelece a Equação 08.

$$fyd = \frac{fyk}{Ys} \tag{08}$$

Onde:

fyd-resistência à tração de cálculo de escoamento do aço (MPa)

fyk – resistência à tração característica de escoamento do aço (MPa)

¥s − coeficiente de ponderação do aço

2.1.4 Requisitos Gerais de Qualidade da Estrutura

2.1.4.1 Durabilidade

A NBR 6118 (ABNT, 2014) define que as estruturas de concreto devem ser projetadas e executadas de modo que, perante as variáveis ambientais previstas e sob a utilização projetada, a estrutura garanta sua segurança, estabilidade, conforto e aptidão, durante sua vida útil, que é definida pelo período no qual a estrutura mantém suas características sem intervenções significativas, desde que sejam atendidos os requisitos de uso e manutenção previstos e prescritos pelo projetista.

2.1.4.2 Agressividade do ambiente

A agressividade do ambiente refere-se às ações físicas e químicas atuantes em uma estrutura de concreto, independentemente das demais ações e variações previstas no dimensionamento das estruturas (NBR 6118, 2014).

A norma também classifica a agressividade do ambiente através de classes, simplificadamente, quanto as condições de exposição da estrutura, apresentado na Figura 08.

Agressividade Risco de Classificação geral do tipo de Classe de deterioração da ambiente para efeito de projeto agressividade estrutura ambiental Rural Ī Fraca Insignificante Submersa 11 Urbana a, b Moderada Pequeno Marinha a III Forte Grande Industrial a, b Industrial a, c IV Muito forte Elevado Respingos de maré

Figura 08: Classes de agressividade ambiental.

Fonte: NBR 6118 (ABNT, 2014).

Pode-se admitir um microclima com uma classe de agressividade mais branda (uma classe acima) para ambientes internos secos (salas, dormitórios, banheiros, cozinhas e áreas de serviço de apartamentos residenciais e conjuntos comerciais ou ambientes com concreto revestido com argamassa e pintura).

Pode-se admitir uma classe de agressividade mais branda (uma classe acima) em obras em regiões de clima seco, com umidade média relativa do ar menor ou igual a 65 %, partes da estrutura protegidas de chuva em ambientes predominantemente secos ou regiões onde raramente chove.

Ambientes quimicamente agressivos, tanques industriais, galvanoplastia, branqueamento em indústrias de celulose e papel, armazéns de fertilizantes, indústrias químicas.

2.1.4.3 Qualidade do concreto

A durabilidade de uma estrutura de concreto está diretamente ligada às características do concreto utilizado. Em função desta necessidade, a NBR 6118 (ABNT, 2014), estabelece valores mínimos para a relação água/cimento e a classe de concreto utilizada de acordo com a classe de agressividade que a estrutura estará exposta, apresentado na Figura 09.

Figura 09: Relação entre a classe de agressividade do ambiente e os parâmetros mínimos para qualidade do concreto.

1							
Concreto ^a	Tipo b, c	Classe de agressividade (Tabela 6.1)					
		I	II	III	IV		
Relação	CA	≤ 0,65	≤ 0,60	≤ 0,55	≤ 0,45		
água/cimento em massa	CP	≤ 0,60	≤ 0,55	≤ 0,50	≤ 0,45		
Classe de concreto	CA	≥ C20	≥ C25	≥ C30	≥ C40		
(ABNT NBR 8953)	CP	≥ C25	≥ C30	≥ C35	≥ C40		
^a O concreto empregado na execução das estruturas deve cumprir com os requisitos estabelecidos na ABNT NBR 12655.							
b CA corresponde a c	CA corresponde a componentes e elementos estruturais de concreto armado.						
^c CP corresponde a c	componentes e elementos estruturais de concreto protendido.						

Fonte: NBR 6118 (ABNT, 2014).

2.1.4.4 Cobrimento da armadura passiva

A fim de garantir o cobrimento correto da armadura passiva, a NBR 6118 (ABNT, 2014), estabelece os seguintes parâmetros:

- O cobrimento mínimo deve ser respeitado ao longo de todo o elemento considerado;
- Considera-se o cobrimento nominal para garantir o cobrimento mínimo, que é o cobrimento mínimo com um acréscimo da tolerância de execução, nas obras correntes a norma estabelece um acréscimo de 10 mm, para obras com alto controle de qualidade é possível utilizar o valor do acréscimo de 5 mm;
- -É possível determinar o cobrimento nominal, considerando um acréscimo de 10 mm, conforme Figura 10:

Classe de agressividade ambiental (Tabela 6.1) IVC 11 Ш Componente ou Tipo de estrutura elemento Cobrimento nominal Laje b 20 25 35 45 Viga/pilar 25 30 40 50 Concreto armado Elementos 30 estruturais em 40 50 contato com o solo d Laje 40 50 Concreto

Figura 10: Correlação entre a classe de agressividade e o cobrimento nominal.

30

Viga/pilar

Fonte: NBR 6118 (ABNT, 2014).

protendido a

2.1.5 Cargas nas Estruturas

Para determinação das cargas estruturais utilizadas no projeto de estruturas de edificações, a NBR 6120 – Cargas para o cálculo de estruturas de edificações (ABNT, 1980) fixa valores que devem ser considerados qualquer seja sua classe e destino, salvo casos previstos em normas especiais. Estas cargas são divididas em cargas permanentes e cargas acidentais.

2.1.5.1 Cargas permanentes – gk

Segundo a NBR 6120 (ABNT, 1980), este tipo de carga é composto pelo peso próprio da estrutura (*Pp*), elementos construtivos fixos e instalações permanentes. A fim de facilitar os cálculos das cargas, a norma fixa valores conforme especificados no Anexo A.

^a Cobrimento nominal da bainha ou dos fios, cabos e cordoalhas. O cobrimento da armadura passiva deve respeitar os cobrimentos para concreto armado.

Para a face superior de lajes e vigas que serão revestidas com argamassa de contrapiso, com revestimentos finais secos tipo carpete e madeira, com argamassa de revestimento e acabamento, como pisos de elevado desempenho, pisos cerâmicos, pisos astálticos e outros, as exigências desta Tabela podem ser substituídas pelas de 7.4.7.5, respeitado um cobrimento nominal ≥ 15 mm.

Nas superfícies expostas a ambientes agressivos, como reservatórios, estações de tratamento de água e esgoto, condutos de esgoto, canaletas de efluentes e outras obras em ambientes química e intensamente agressivos, devem ser atendidos os cobrimentos da classe de agressividade IV.

d No trecho dos pilares em contato com o solo junto aos elementos de fundação, a armadura deve ter cobrimento nominal ≥ 45 mm.

2.1.5.2 Cargas acidentais – qk

A NBR 6120 (ABNT, 1980) define cargas acidentais como as cargas providas da utilização da edificação (pessoas, móveis, materiais diversos, veículos, etc...). Para o cálculo, a norma estabelece os valores apresentados no Anexo B.

2.1.6 Cálculo Estrutural

O cálculo estrutural manual presente neste trabalho será baseado na metodologia aplicada por Araújo (2104), apresentada em suas obras "Curso de Concreto Armado" volume 1, 2, 3 e 4, e "Projeto Estrutural de Edifícios de Concreto Armado", seguindo também os critérios estabelecidos pela NBR 6118 (ABNT, 2014).

Segundo Sussekind (1984) as estruturas devem ser concebidas de modo a poderem resistir às ações horizontais e verticais a que possam estar submetidas ao longo de sua existência e que, além disso, independentemente do número de pavimentos e das dimensões em planta, seus sistemas de contraventamento devem ser estudados e adequadamente calculados.

2.1.6.1 Laje

Lajes são estruturas planas, comumente horizontais, com duas dimensões (base e largura) de maior valor que a terceira (espessura), estas possuem a função de receber os carregamentos do pavimento, como: pessoas, mobília, impactos, etc., e transferir os mesmos para as demais estruturas. (PINHEIRO, 2007).

A NBR 6118 (ABNT, 2014) define os seguintes limites de espessura mínima para lajes maciças em concreto armado:

- 7 cm para lajes de cobertura não em balanço;
- 8 cm para lajes de piso não em balanço;
- 10 cm para lajes em balanço;
- 10 cm para lajes que suportem veículos de peso total menor ou igual a 30 kN;
- 12 cm para lajes que suportem veículos de peso total maior que 30 kN.

2.1.6.2 Viga

A NBR 6118 (ABNT, 2014) define as vigas como elementos lineares em que a flexão é predominante, a mesma define que a largura mínima das vigas deve ser de 12 cm.

2.1.6.3 Pilar

Os pilares, segundo a NBR 6118 (ABNT, 2014), são elementos lineares de eixo reto, normalmente posicionados na vertical, em que as forças de compressão são predominantes, estes devem possuir área mínima de 360 cm², com dimensões mínimas de 19 cm, quando uma das dimensões for inferior a 19 cm, deve-se majorar as cargas de acordo com a Figura 11.

Figura 11: Valores do coeficiente de majoração para pilares.

b cm	≥ 19	18	17	16	15	14
γn	1,00	1,05	1,10	1,15	1,20	1,25

onae

 $\gamma_{\rm n} = 1,95 - 0,05 \ b;$

b é a menor dimensão da seção transversal, expressa em centímetros (cm).

NOTA $\,$ O coeficiente γ_{n} deve majorar os esforços solicitantes finais de cálculo quando de seu dimensionamento.

Fonte: NBR 6118 (ABNT, 2014).

2.1.6.4 Escada

Segundo a NBR 9050 (ABNT, 2015), uma escada pode ser considerada a partir de uma sequência de três ou mais degraus, as dimensões destes degraus (pisos e espelhos) devem ser uniformes por toda a escada. Para um correto dimensionamento deste elemento, os seguintes parâmetros devem ser atendidos:

- $-0.63 \text{ m} \le p + 2e \le 0.65 \text{ m};$
- pisos (p): $0.28 \text{ m} \le p \le 0.32 \text{ m}$;
- espelhos (e): 0,16 m \leq e \leq 0,18 m.

2.1.6.5 Reservatório

Reservatório é todo recipiente que contém um determinado líquido, normalmente água, potável ou não, que podem ser enterrados, apoiados ao solo ou elevados. (GUERRIN e LAVAUR, 2003).

De acordo com Fusco (1995), as dificuldades encontradas no dimensionamento de reservatórios elevados e reservatórios enterrados são semelhantes, porém, os detalhamentos dos reservatórios elevados estão submetidos a condicionantes mais exigentes.

2.1.7 Estados Limite

Araújo (2014) afirma que além dos aspectos estéticos e econômicos, uma estrutura de concreto armado deve atender requisitos de qualidade, como segurança, bom desempenho em serviço e durabilidade. Quando algum destes itens não é atendido considera-se que a edificação alcançou um estado limite.

2.1.7.1 Estado Limite Último- ELU

A NBR 6118 (ABNT, 2014) define o ELU como o estado limite do uso da estrutura, ou seja, estado relacionado ao colapso ou qualquer forma de ruína que cause a paralisação do uso da estrutura. O dimensionamento estrutural é realizado respeitando este estado limite, a favor da segurança.

2.1.7.2 Estado Limite de Serviço - ELS

O estado limite de serviço ou de utilização é o estado onde o aproveitamento da estrutura faz-se avariado por apontar deformações excessivas ou um nível de fissuração excessivo comprometendo a durabilidade da estrutura (ARAÚJO, 2014).

2.1.8 Software Eberick

Segundo a *AltoQi*, empresa desenvolvedora do *software Eberick*, este é utilizado na realização de projetos estruturais em concreto armado moldado in loco e concreto prémoldado que abrange as etapas de lançamento estrutural, análise da estrutura, dimensionamento e detalhamento final dos elementos, que segue as exigências da NBR 6118 (ABNT, 2014).

CAPÍTULO 3

3.1 METODOLOGIA

Neste capítulo serão abordados os métodos de estudos que foram empregados neste trabalho para obter os resultados esperados.

3.1.1 Sequência do Estudo

Este trabalho teve como objetivo projetar uma residência de 02 pavimentos em concreto armado atendendo os requisitos da NBR 6118 (ABNT, 2014) utilizando o método de cálculo manual e o *software Eberick*, este projeto tem sua implantação prevista no Centro da cidade de Cascavel - Paraná.

Para chegar a este objetivo foi necessário passar por um estudo de projeto, onde, através do projeto arquitetônico foi definida uma concepção inicial da estrutura por um prédimensionamento, que compreende em localizar os elementos estruturais (lajes, vigas, pilares, escada e reservatório), visando o máximo conforto, economia e compatibilização com este projeto arquitetônico.

Com o pré-dimensionamento estrutural realizado definiu-se dados de projeto a serem utilizados, como, cobrimento, resistência do concreto, resistência do aço, materiais utilizados na edificação (revestimento, vedação...), classe de agressividade do meio, entre outros.

Em seguida realizou-se o cálculo estrutural manual e o cálculo estrutural computacional com o *software Eberick*, ambos terão seus resultados expressos por meio de tabelas e plantas de detalhamento.

A fim de obter o resultado proposto pelo estudo, comparou-se as quantidades de aço obtidas no dimensionamento das estruturas da edificação por ambos os métodos, manual e computacional.

3.1.2 Projeto Arquitetônico

O projeto arquitetônico utilizado neste trabalho é uma residência unifamiliar de dois pavimentos, térreo e superior, em concreto armado com alvenaria de vedação e cobertura de platibanda com laje impermeabilizada.

O pavimento térreo é composto de um abrigo (garagem), sala de jantar/estar, lavatório, despensa, cozinha e área de serviço, totalizando 80,475 m².

O pavimento superior é composto de 02 quartos, suíte, closet, 02 banheiros e hall de distribuição, totalizando 80,475 m².

A conexão entre pavimentos é realizada através de uma escada convencional.

As plantas arquitetônicas são apresentadas no Apêndice A.

3.1.3 Pré-dimensionamento

Uma das etapas mais importantes de um projeto estrutural está compreendida no seu pré-dimensionamento, é neste momento que o projetista define as dimensões primárias dos elementos estruturais, podendo ser realizado futuras alterações conforme a execução dos cálculos. Neste trabalho as dimensões estabelecidas no pré-dimensionamento serão utilizadas para o cálculo estrutural manual e computacional a fim de uma comparação dos resultados mais precisa.

Neste projeto para melhor padronização, economia e optimização procurou-se realizar o maior número de elementos com a mesma dimensão.

Para os pilares optou-se pela dimensão 14x30 centímetros, esta definição se deu para melhor compatibilizar o projeto arquitetônico com o projeto estrutural, tendo em vista que a espessura das paredes do projeto arquitetônico possuem 15 centímetros, ou seja, ao utilizar um pilar com dimensão de 14x30 centímetros é possível manter a estética projetada prevista. Optou-se também por manter o alinhamento vertical dos pilares em toda edificação, totalizando 14 pilares.

As alturas das vigas foram calculadas em função de 10% do vão entre as mesmas, sua outra dimensão (base ou largura) foi padronizada em 14 centímetros para que, assim como os pilares, este elemento não interferisse no projeto arquitetônico, totalizando 19 vigas. No pavimento térreo as vigas são todas vigas baldrames, estas foram padronizadas com a

dimensão de 14x50 centímetros, totalizando 10 vigas baldrames, as vigas da platibanda possuem dimensões uniformes de 14x30 centímetros, totalizando 4 vigas.

As lajes tiverem suas espessuras adotadas em 10 centímetros, valor este, que respeita o mínimo estabelecido por norma e padroniza as lajes, facilitando uma possível execução, totalizando 10 lajes.

A escada desta edificação é considerada como uma escada convencional com um patamar de descanso intermediário, os degraus desta escada possuem as dimensões de 30 centímetros para seu piso e 17,33 centímetros para seu espelho, atendendo os requisitos de norma, com uma largura de 127,5 centímetros.

O reservatório elevado do presente projeto possui o volume aproximado de 5,2 m³, feito em concreto armado, com uma tampa de 10 centímetros de espessura, fundo com 15 centímetros de espessura e paredes com 14 centímetros de espessura. Este reservatório se apoia diretamente sobre quatro pilares.

3.1.4 Dados do Projeto

Os dados do projeto são importantes, pois estes definem coeficientes, limites e definições que devem ser utilizadas para o dimensionamento dos elementos em concreto armado.

A partir da localização da implantação do projeto, este em Cascavel – Paraná, foi possível obter os dados iniciais, como a classe de agressividade, que dão origem a outras definições projetuais, como apresentado na Tabela 01.

Os revestimentos e acabamentos utilizados, obtidos a partir do projeto arquitetônico, são apresentados na Tabela 02.

Tabela 01: Dados do projeto.

Dados do Projeto				
Classe de agressividade	II			
Relação água/cimento	0,5			
Concreto	C25			
Aço	CA-50			
Cobrimento nominal (mm)	25			
Resistência característica do concreto (kN/cm²)	2,5			
Resistência característica do aço (kN/cm²)	50			
Resistência de cálculo do concreto (kN/cm²)	1,79			
Resistência de cálculo do aço (kN/cm²)	43,48			
Diâmetro máximo do agregado (mm)	19			
Módulo de elasticidade do concreto (GPa)	28			
Módulo de elasticidade do aço (GPa)	210			
Vinculação viga-viga	Rotulado			
Vinculação viga-pilar	Engastado			
Vinculação pilar-fundação	Engastado			
Vinculação pilar-pilar	Engastado			
Vinculação laje-laje	Engastado			
Vinculação lance da escada-viga	Engastado			
Vinculação tampa reservatório-reservatório	Apoiado			
Vinculação fundo reservatório-reservatório	Engastado			
Vinculação parede reservatório-parede reservatório	Engastado			

Fonte: AUTOR (2017).

Tabela 02: Dados dos revestimentos.

Dados dos Revestimentos					
	Espessura	Peso Específico	Carga		
	(m)	(kN/m^3)	(kN/m^2)		
Revestimento do teto em gesso	0,01	12,5	0,0125		
Revestimento do piso em granito	0,01	28	0,28		
Revestimento do piso em madeira (pinho)	0,01	5	0,05		
Alvenaria em bloco cerâmico (tijolo furado)					
(14x19x29) cm	0,14	13	-		
Contrapiso	0,015	21	0,315		
Reboco	0,01	20	0,2		
Peso próprio	0,1	25	2,5		
Manta asfáltica impermeabilizante	-	-	1,5		

Fonte: AUTOR (2017).

3.1.5 Cálculo Estrutural

O trabalho compreende o cálculo e dimensionamento estrutural manual dos pilares, vigas, lajes, escada e reservatório elevado em concreto armado, seguindo os critérios prescritos na NBR 6118 (ABNT, 2014) especificados na Revisão Bibliográfica deste trabalho, juntamente com a metodologia adotada por Araújo (2014), autor das obras "Curso de Concreto Armado" volume 1, 2, 3 e 4. O cálculo e dimensionamento manual fez uso também dos *softwares AutoCad* e *Ftool*, além do *Microsoft Office Excel*, para auxiliar no desenvolvimento.

O cálculo e dimensionamento estrutural computacional foi realizado com o emprego do *software* da empresa AltoQi *Eberick*, sendo utilizada a versão 8 do programa.

Ambas as metodologias de cálculo utilizaram a mesma concepção estrutural inicial a fim de criar uma comparação mais próxima da realidade, porém, é possível que durante os cálculos algum elemento ou dimensão seja alterado, em virtude da metodologia de dimensionamento dos elementos.

O cálculo estrutural desta pesquisa não compreende o dimensionamento das fundações e não considera as ações de vento na estrutura.

As plantas de fôrmas do dimensionamento manual e computacional são apresentadas nos Apêndices A e E, respectivamente.

3.1.6 Análise dos Dados

Ao final de ambos os dimensionamentos estruturais, realizou-se o comparativo da quantidade de aço entre as metodologias, definindo assim, o projeto mais econômico perante as diferentes possibilidades de dimensionamento de uma mesma estrutura seguindo os parâmetros estabelecidos pela NBR 6118 (ABNT, 2014).

CAPÍTULO 4

4.1 RESULTADOS E DISCUSSÕES

Neste capítulo serão apresentados os resultados obtidos no estudo de caso, comparando a quantidade de aço, em quilogramas, entre o dimensionamento estrutural manual e o dimensionamento computacional no *Eberick*, separando os elementos estruturais para comparativos isolados e um comparativo geral de ambos os dimensionamentos.

4.1.1 Laje

As lajes maciças dimensionadas no cálculo manual obtiveram um peso de aço em quilogramas de 746,4. O cálculo computacional resultou em 976,6 kg de aço, portanto, o dimensionamento computacional apresentou 30,84% a mais de quilogramas de aço em relação ao manual.

Esta diferença se deve principalmente a metodologia de dimensionamento que ambos os cálculos utilizam, o *software* faz uso de uma metodologia conservadora, apresentando um maior número de ligações entre os elementos.

É necessário salientar que para que o cálculo computacional se tornasse possível fezse a necessidade de aumentar a espessura das lajes L2 e L5 do pavimento superior e cobertura, de 10 cm para 12 cm, para atender o dimensionamento das armaduras negativas entre estas lajes.

Os detalhamentos manuais das lajes são apresentados no Apêndice B, e os detalhamentos computacionais estão presentes nos Apêndices H e I.

4.1.2 Viga

As vigas de concreto armado nesta pesquisa obtiveram os resultados mais similares entre os elementos da edificação, o cálculo manual resultou em 816,2 kg de aço, enquanto o *Eberick* obteve 807,6 kg de aço, ou seja, o dimensionamento manual apresentou apenas 1,05% a mais de quilogramas de aço em relação ao *software*. Para o cálculo computacional foi

necessário alterar a dimensão da viga intermediaria da escada V10 de 14x50 para 19x50, pois, o programa acusou um problema em relação a área de aço e área da seção.

As Figuras 12 e 13 exemplificam o dimensionamento da viga 16 do cálculo manual e a viga 7 do cálculo computacional, estas são as mesmas vigas da edificação, apenas com numerações diferentes. Os demais detalhamentos das vigas, manuais e computacionais, estão apresentados nos Apêndices D e F, respectivamente.

V16(14x50) esc 1:50 N88 2Ø16,0 - 524 SEÇÃO A-A SEÇÃO B-B SEÇÃO C-C 20 N89 2Ø16,0 - 524 N87 2Ø6.3 - 407 20 9 P6 45 45 N93 c/11 12 N94 c/27 N92 2Ø8,0 - 348 111 N90 1Ø16,0 - 532 57 N93/N94 Ø6,3 c=118 esc 1:25 N91 2Ø16,0 - 532

Figura 12: Detalhamento da viga 16 – Cálculo manual.

Fonte: AUTOR (2017).

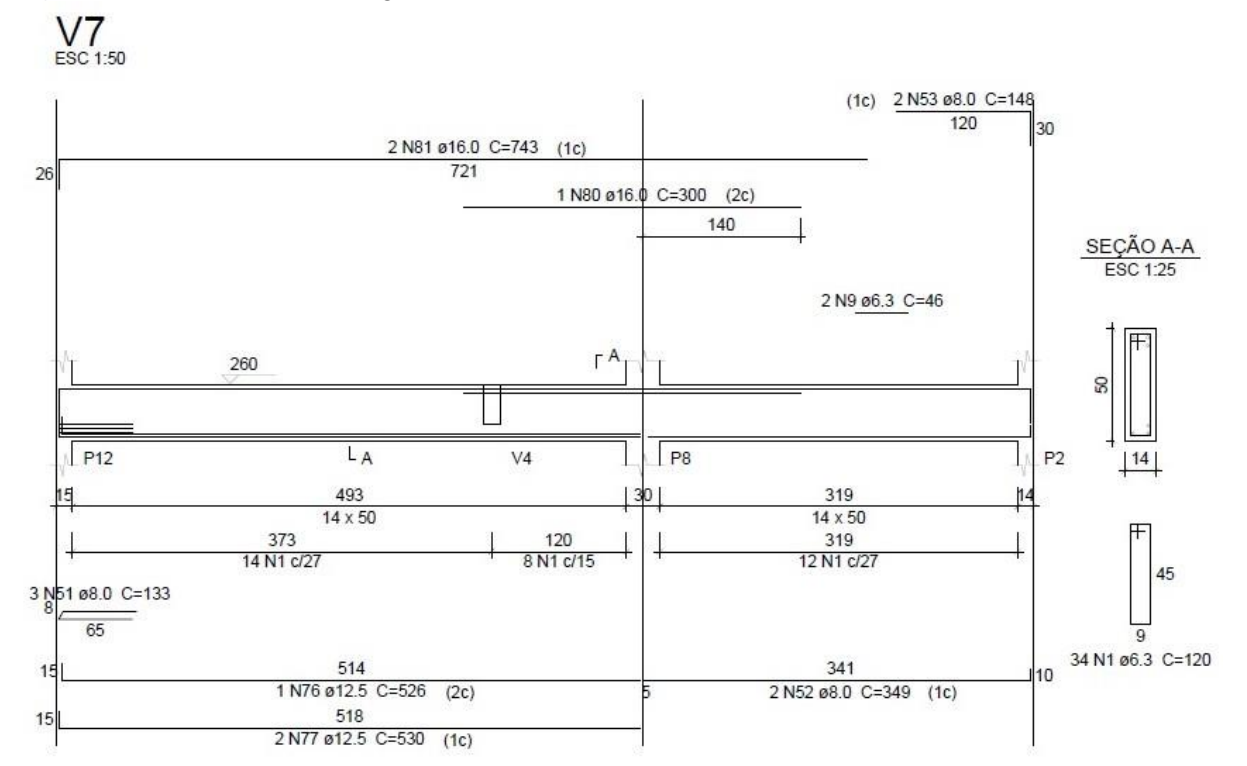


Figura 13: Detalhamento da viga 7 – *Eberick*.

Fonte: AUTOR (2017).

22 N34 c/12

4.1.3 Pilar

Fonte: AUTOR (2017).

Os pilares de concreto armado obtiveram resultados semelhantes entre os dimensionamentos, o cálculo manual apresentou um quantitativo de aço de 573,9 kg e o *software* 608,1 kg, 5,62% a mais que o dimensionamento manual. Para a execução do dimensionamento computacional foi necessário alterar a seção do pilar P12 de 14x30 para 15x30, com o intuito de atender a área de aço da seção.

O detalhamento do pilar P6 do cálculo manual e P8 do cálculo computacional (mesmo pilar, apenas numerações diferentes) á apresentado nas Figuras 14 e 15 a fim de exemplificar o detalhamento destes elementos. Os demais detalhamentos dos pilares, manuais e computacionais, estão apresentados nos Apêndices D e F, respectivamente.

Figura 14: Detalhamento do pilar P6 – Cálculo manual.

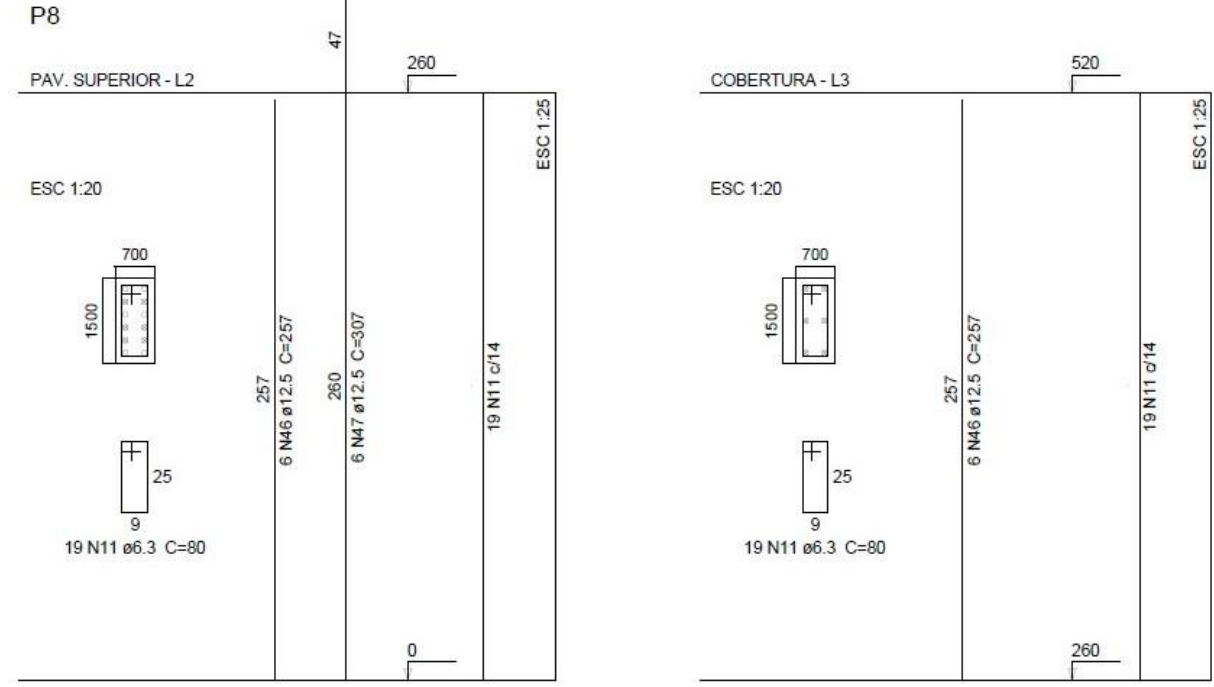


Figura 15: Detalhamento do pilar P8 – *Eberick*.

Fonte: AUTOR (2017).

4.1.4 Escada

O dimensionamento da escada em concreto armado presente nesta edificação, responsável pela conexão entre o pavimento térreo e o pavimento superior, apresenta a quantia de 70,9 e 58,3 quilogramas de aço no cálculo manual e computacional, respectivamente, portanto, observa-se que o cálculo manual possui 21,6% a mais de quilogramas de aço em relação ao *software*.

Os detalhamentos da escada, no método manual e computacional, são apresentados nos Apêndices C e G.

4.1.5 Reservatório Elevado

O reservatório elevado desta edificação, de 5,2 m³, em concreto armado, resultou em um quantitativo de aço pelo o método manual de cálculo de 181,3 kg de aço e 276,1 kg para o método computacional, resultando em 34,3% a mais de quilogramas de aço em relação ao dimensionamento manual, este alto valor se deve a alta complexidade de detalhamentos que o *software* realiza para os reservatórios de concreto armado.

Os detalhamentos da escada, no método manual e computacional, são apresentados nos Apêndices C e G.

4.1.6 Quantitativo Geral da Edificação

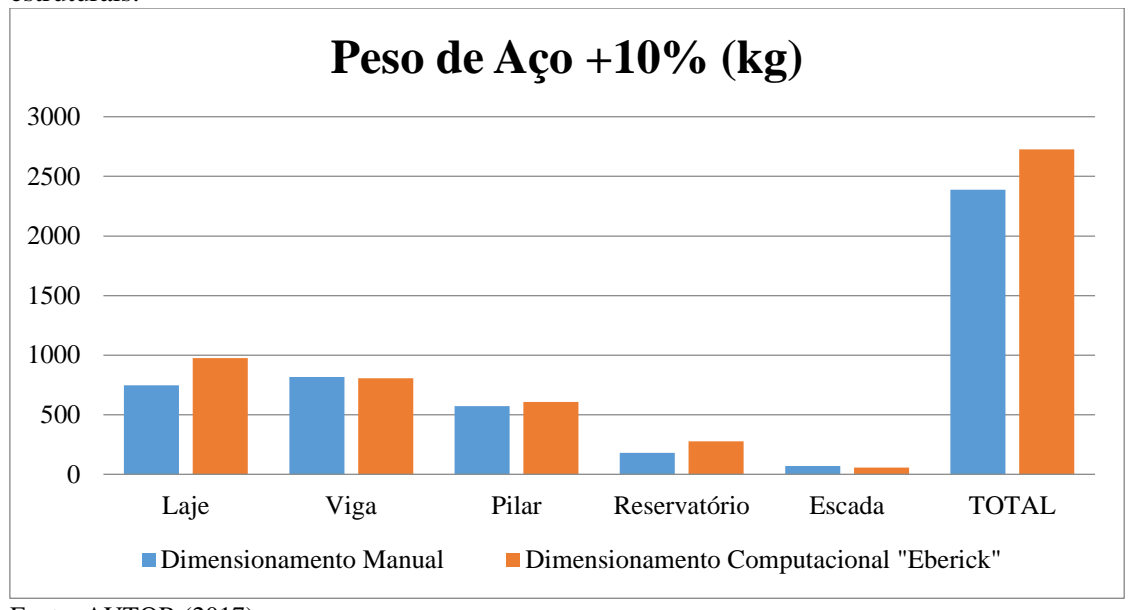
Ao finalizar o cálculo estrutural da edificação pelo método manual de cálculo e pelo método computacional de cálculo utilizando o *software Eberick* foi possível avaliar o quantitativo de aço total empregado no dimensionamento das estruturas de concreto armado presentes na edificação, este quantitativo é apresentado na Tabela 03 e ilustrado no gráfico presente na Figura 16.

Tabela 03: Quantitativo de aço das estruturas de concreto armado no cálculo manual e computacional.

Comparativo do Peso Total de Aço + 10% (kg)				
Elemento	Dimansionamento Manual	Dimensionemente Computacional "Fharial"		
Estrutural	Difficusionamento Manual	Dimensionamento Computacional "Eberick"		
Laje	746,4	976,6		
Viga	816,2	807,9		
Pilar	573,9	608,1		
Reservatório	181,3	276,7		
Escada	70,9	58,3		
TOTAL	2388,7	2727,6		

Fonte: AUTOR (2017).

Figura 16: Gráfico do quantitativo de aço entre os métodos de dimensionamentos e os elementos estruturais.



Fonte: AUTOR (2017).

Analisando estes resultados é possível concluir que o método computacional apresentou um quantitativo de aço 12,42% maior que o dimensionamento manual, levando em consideração o volume da residência em pesquisa pode-se obter a relação entre o volume da edificação pelo peso de aço total empregado no dimensionamento, resultando em 4,35 kg/m³ de aço para método manual e 4,97 kg/m³ para o método computacional.

Com estes resultados nota-se uma pequena discrepância entre o valor dos métodos, tornando a metodologia do cálculo manual mais econômica em relação à metodologia computacional, para fins de exemplificar esta diferença de valores, será simulado que todas as barras de ambos os dimensionamentos possuam o diâmetro de 10 milímetros e será utilizado a tabela "Evolução do valor médio do Aço CA-50 de 10 mm (em R\$/kg)" provido pela Câmara Brasileira da Indústria da Construção para o Estado do Paraná.

Este valor em agosto de 2017 foi de 2,53 R\$/kg, aplicando para ambos os dimensionamentos obtive-se os valores de R\$6.043,41 para o dimensionamento manual e R\$6.900,83, portanto, uma diferença de R\$857,42 entre as metodologias.

A diferença de valores entre os projetos estruturais se deve principalmente as diferentes metodologias de dimensionamento para os diferentes elementos estruturais utilizadas em ambos os métodos, as diferentes analises de dados para a execução do projeto e as diferentes ponderações com relação à segurança estrutural.

O método computacional, apesar de menos econômico que o manual, provou-se capaz de atender as exigências mínimas de segurança, além de trazer maior produtividade ao projetista por conta da rapidez na execução dos dimensionamentos, possibilita a simulação de diferentes soluções aos problemas que são encontrados em um projeto estrutural e traz maior segurança ao projetista ao exibir alertas, avisos sobre possíveis erros do dimensionamento e como os solucionar.

CAPÍTULO 5

5.1 CONCLUSÃO

Este trabalho teve como objetivo realizar o dimensionamento estrutural de uma edificação residencial unifamiliar de dois pavimentos, em concreto armado, aplicando o método de cálculo estrutural manual e o método computacional utilizando o *software Eberick* da empresa *AltoQi* e comparar a quantidade de aço, em quilogramas, empregado em ambos os dimensionamentos, a fim de estabelecer qual dos métodos é mais econômico e provar a utilidade do método computacional, que deveria atender as exigências mínimas de segurança estrutural.

Após passar por um processo de pré-dimensionamento das estruturas, execução do cálculo estrutural manual e execução do cálculo estrutural computacional, chegou-se à conclusão de que o método manual provou ser mais econômico em relação ao método computacional, apresentando um quantitativo de aço 12,42% menor que o *software*.

No decorrer da execução deste trabalho notou-se também, o dinamismo que o *software* proporciona ao dimensionamento, propondo soluções a alguns empecilhos que ocorrem ao decorrer do projeto, possibilitando simulações com estas soluções, gerando rapidamente resumo de materiais, visualização 3D e possibilitando maior produtividade, tendo consumido aproximadamente 1/5 do tempo que o método manual utilizou para o dimensionamento estrutural.

A solução estrutural computacional não se mostrou a mais econômica, porém, atendeu as exigências de segurança vigentes em norma e proporcionou um dimensionamento mais eficaz levando em consideração o tempo gasto para sua realização e o grau de detalhamento obtido no projeto, este, superior que o obtido na metodologia manual.

Vale salientar que o *software* não substitui o papel do engenheiro, ainda é necessário que este profissional analise, tome decisões e modele o projeto de acordo com as necessidades vigentes.

CAPÍTULO 6

6.1 SUGESTÕES PARA TRABALHOS FUTUROS

Como possíveis trabalhos futuros, pode-se apontar:

- Realização das mesmas verificações, com edificações de maiores números de pavimentos;
- Realização das mesmas verificações, adicionando os esforços de vento sobre a edificação;
- Realização das mesmas verificações, com outros softwares de cálculo estrutural.

REFERÊNCIAS

ALBUQUERQUE, A.T. **Análise de alternativas para edifícios em concreto armado.** 1998. 100 f. Dissertação (Mestrado em Engenharia de Estruturas) — Escola de Engenharia de São Carlos, Universidade de São Paulo, São Carlos. 1999.

Alto Qi. **Eberick**. Disponível em http://www.altoqi.com.br/software/projeto-estrutural/eberick-v10> Acesso em: 08 abr. 2017.

ARAÚJO, J. M. Curso de concreto armado. 4. ed. Rio Grande: Dunas, 2014. v. 1.
Curso de concreto armado. 4. ed. Rio Grande: Dunas, 2014. v. 2.
Curso de concreto armado. 4. ed. Rio Grande: Dunas, 2014. v. 3.
Curso de concreto armado. 4. ed. Rio Grande: Dunas, 2014. v. 4.
ASSOSIAÇÃO BRASILEIRA DE NORMAS TÉCNICAS. NBR 6120 . Cargas para o cálculo de estruturas de edificações. Rio de Janeiro, RJ: ABNT 1980.
NBR 6188. Projeto de estruturas de concreto – Procedimentos. Rio de Janeiro, RJ: ABN 2014.
NBR 7480 . Barras e fios de aço destinados a armaduras para concreto armado. Rio de Janeiro, RJ: ABNT 1996.
NBR 9050 . Acessibilidade a edificações, mobiliário, espaços e equipamentos urbanos. Rio de Janeiro, RJ: ABNT 2015.

BRASIL. Câmara Brasileira da Industria da Construção. **Consumo, Produção, e Valores de Materiais de Construção**. Disponível em http://www.cbicdados.com.br/menu/materiais-deconstrucao/aco-10mm-e-produtos-de-aco-longo Acesso em: 04 out. 2017.

FISCO, P. B. **Técnicas de armar as estruturas de concreto**. PINI. São Paulo, 1995.

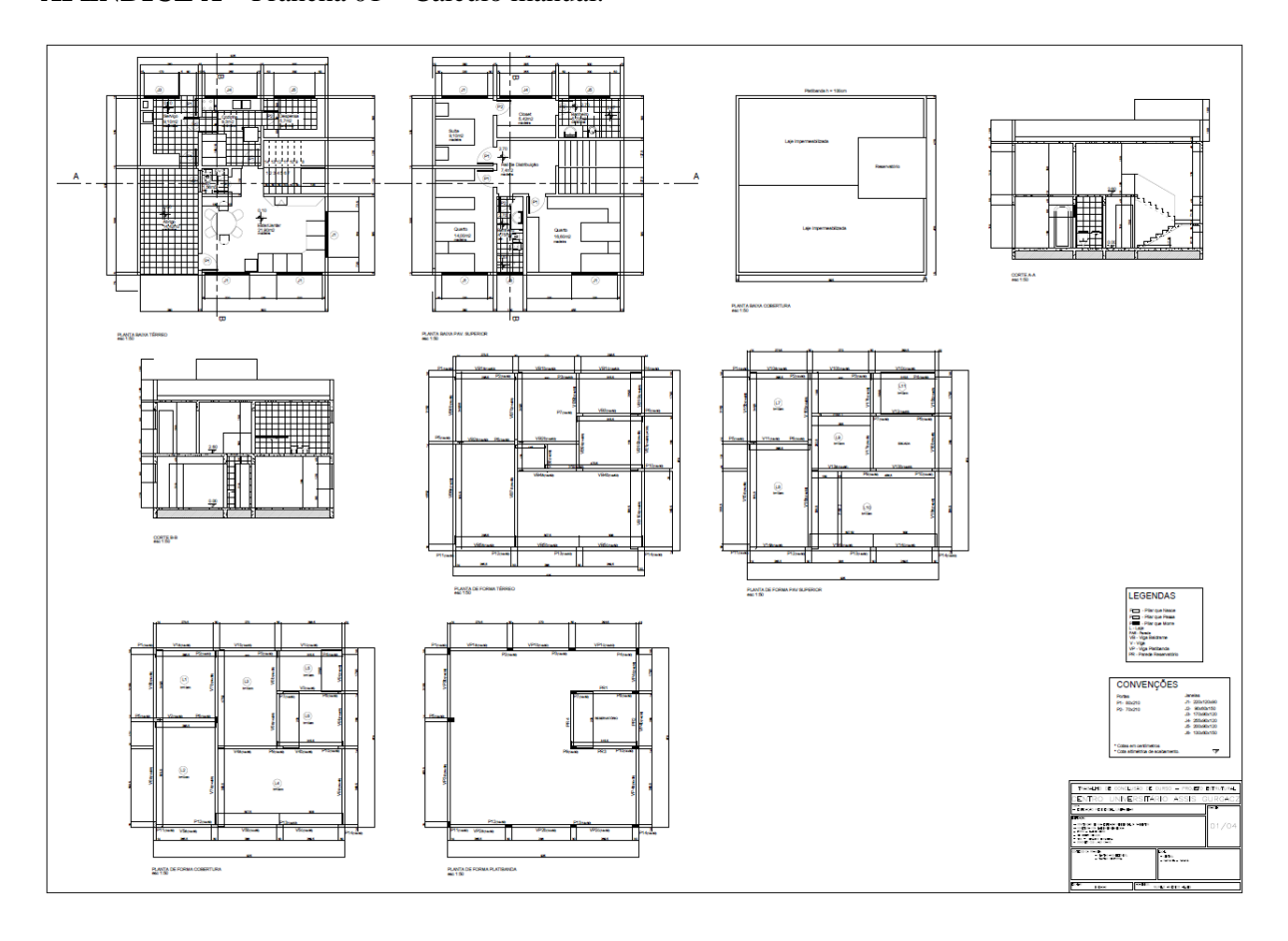
GUERRIN, A; LAVAUR, R. C. **Tratado de concreto armado: reservatórios, caixas d'água, piscinas.** Editora Hemus, 436 p. São Paulo, 2004.

PINHEIRO, L. M. **Fundamentos do concreto e projetos de edifícios.** Escola de Engenharia de São Carlos. Departamento de Engenharia de Estruturas. Universidade de São Carlos. São Carlos, 2007.

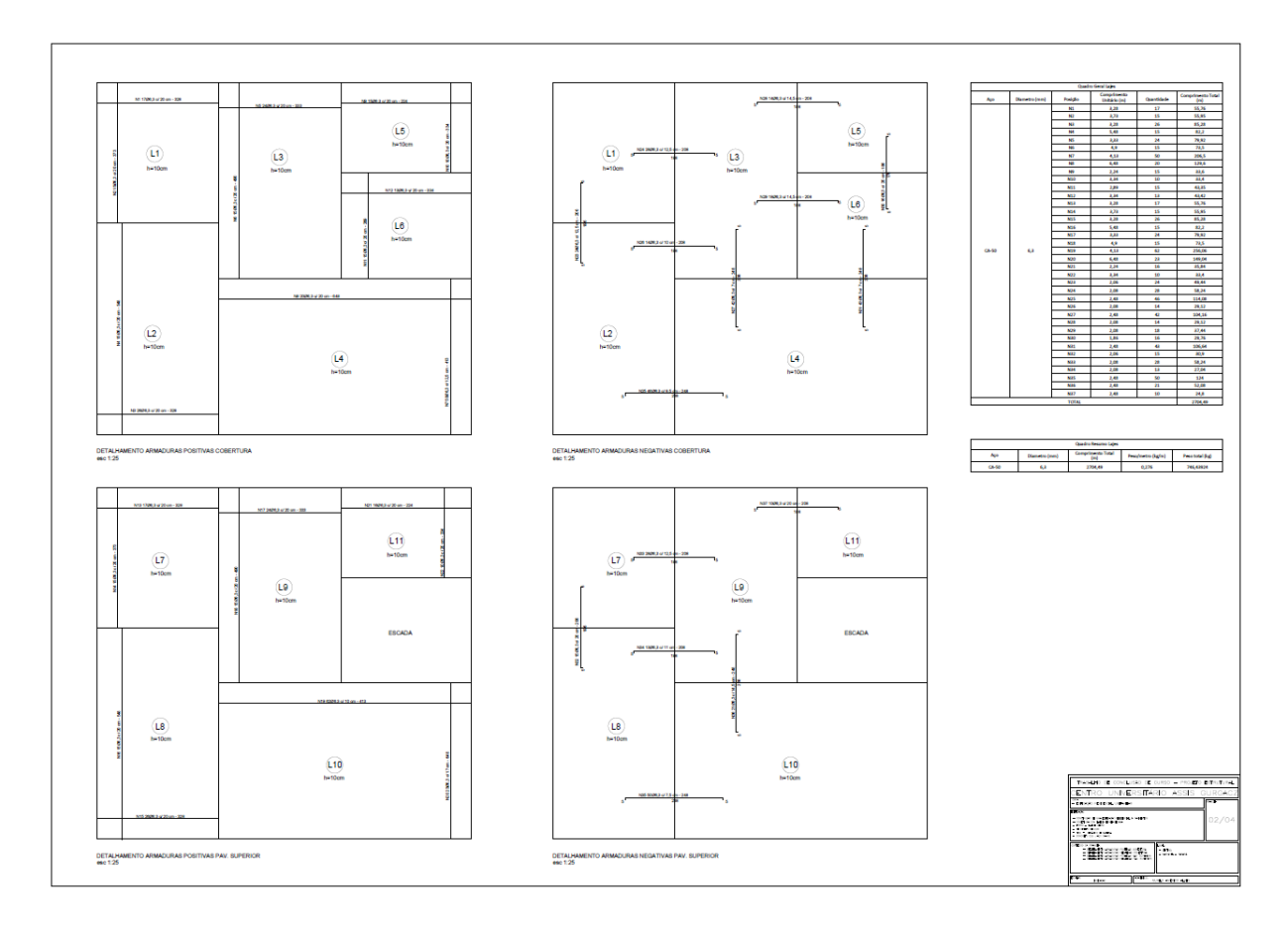
SUSSEKIND, J. C. Curso de concreto. Editora Globo, 280 p. v 2. Rio de Janeiro, 1984.

KIMURA, Alio. Informática aplicada em estruturas de concreto armado: cálculos de edifícios com uso de sistemas computacionais. Editora PINI, 632 p. São Paulo, 2007.

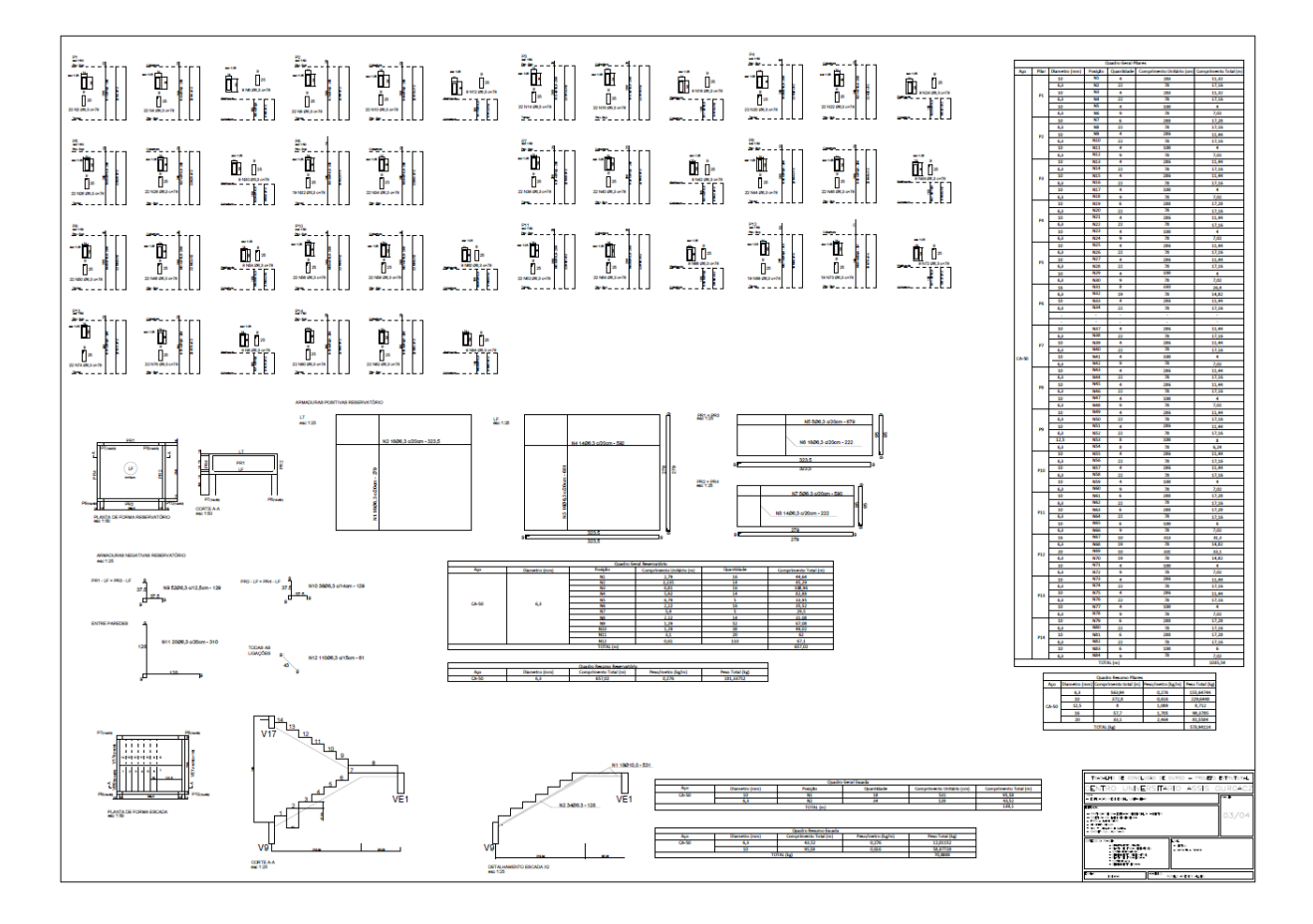
APÊNDICE A – Prancha 01 – Cálculo manual.



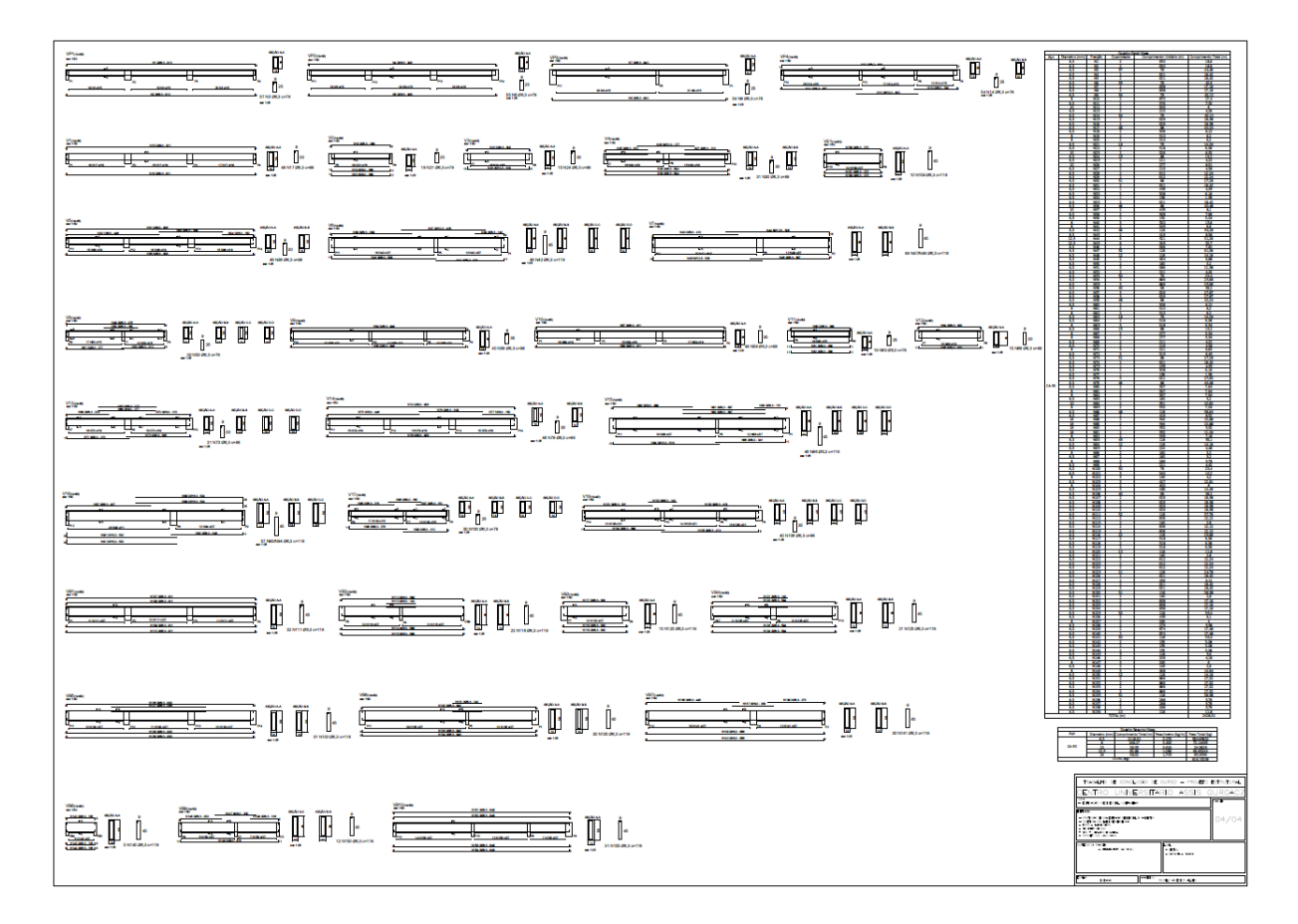
APÊNDICE B – Prancha 02 – Cálculo manual.



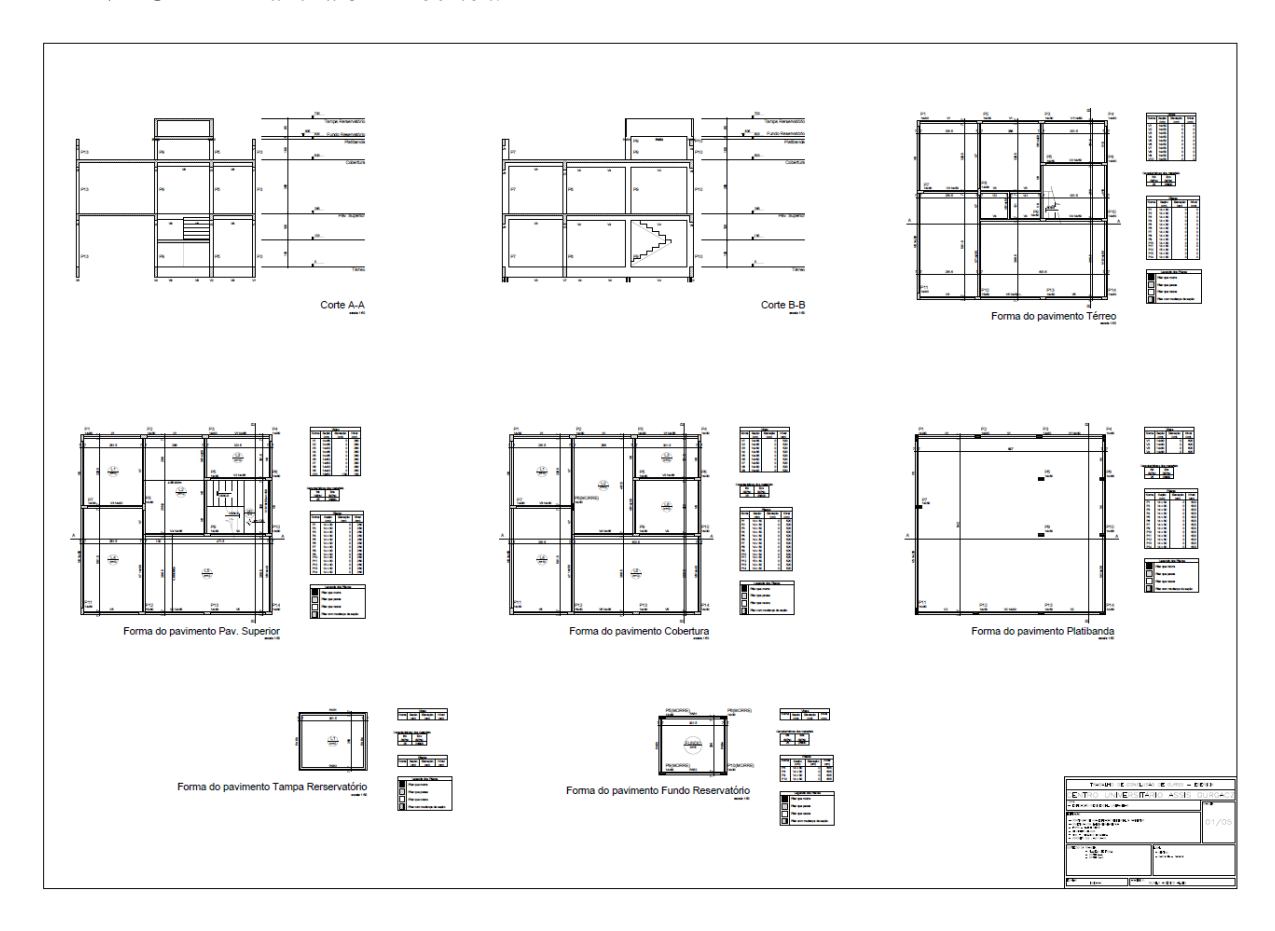
APÊNDICE C – Prancha 03 – Cálculo manual.



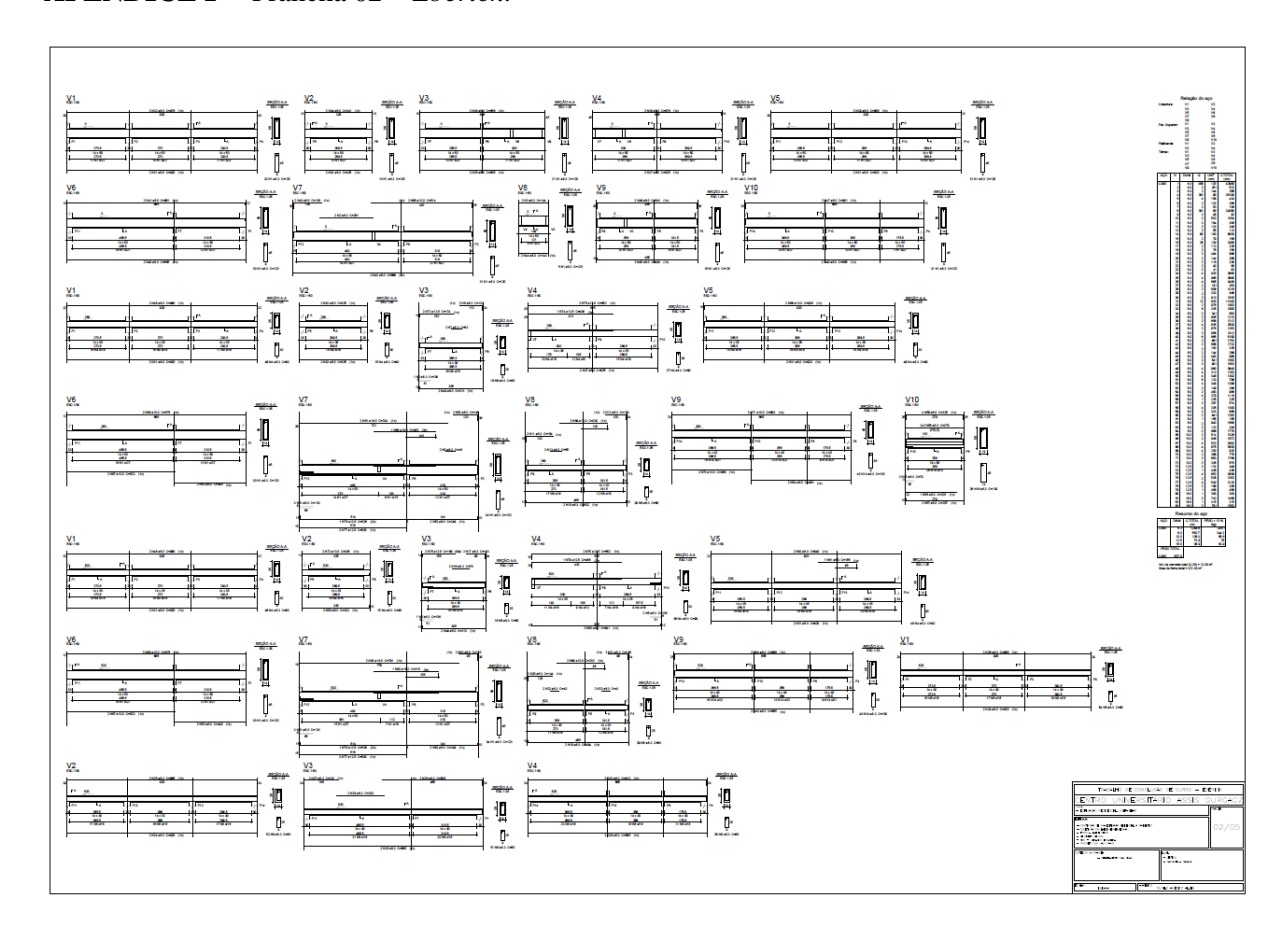
APÊNDICE D – Prancha 04 – Cálculo manual.



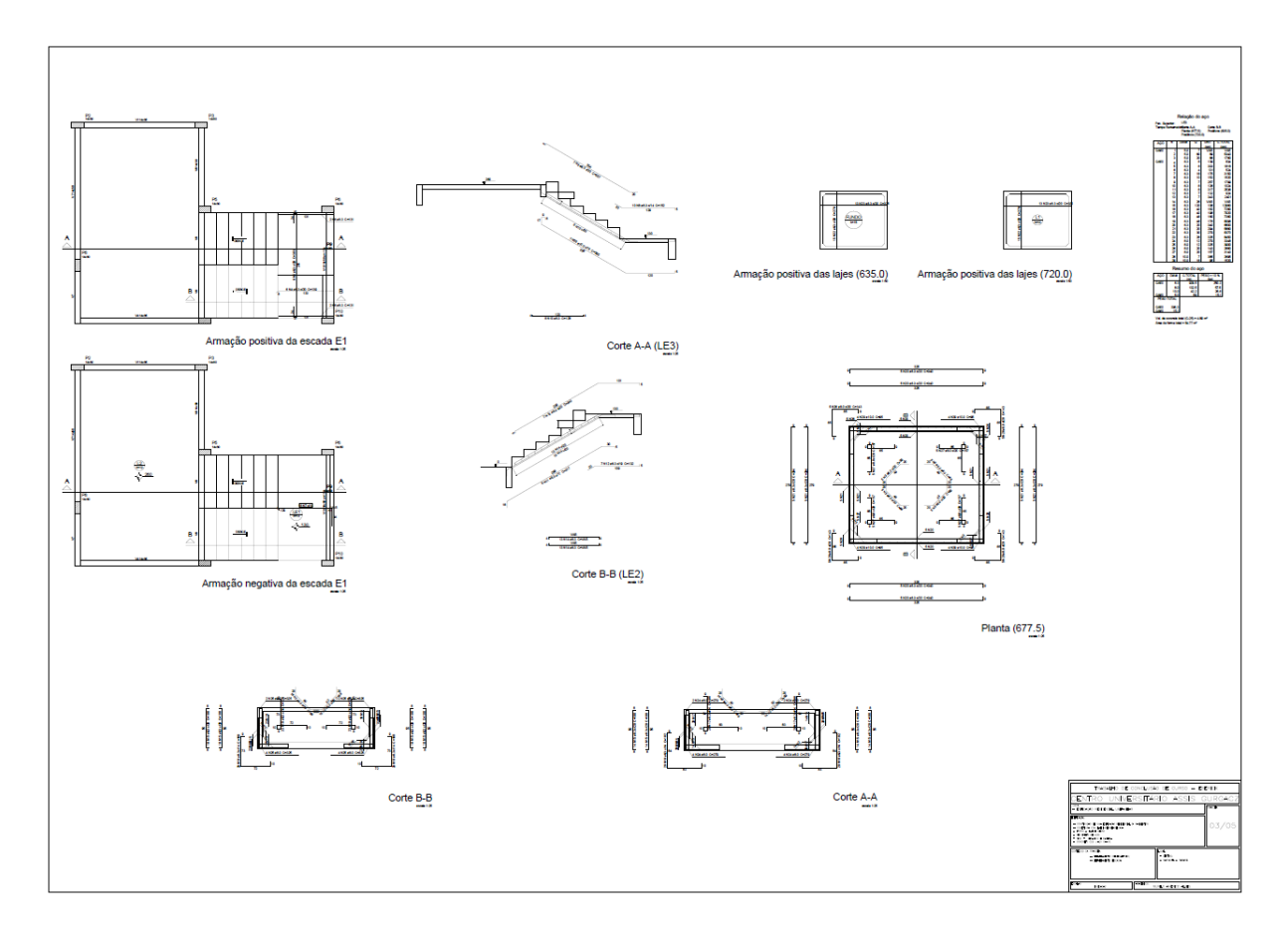
APÊNDICE E – Prancha 01 – *Eberick*.



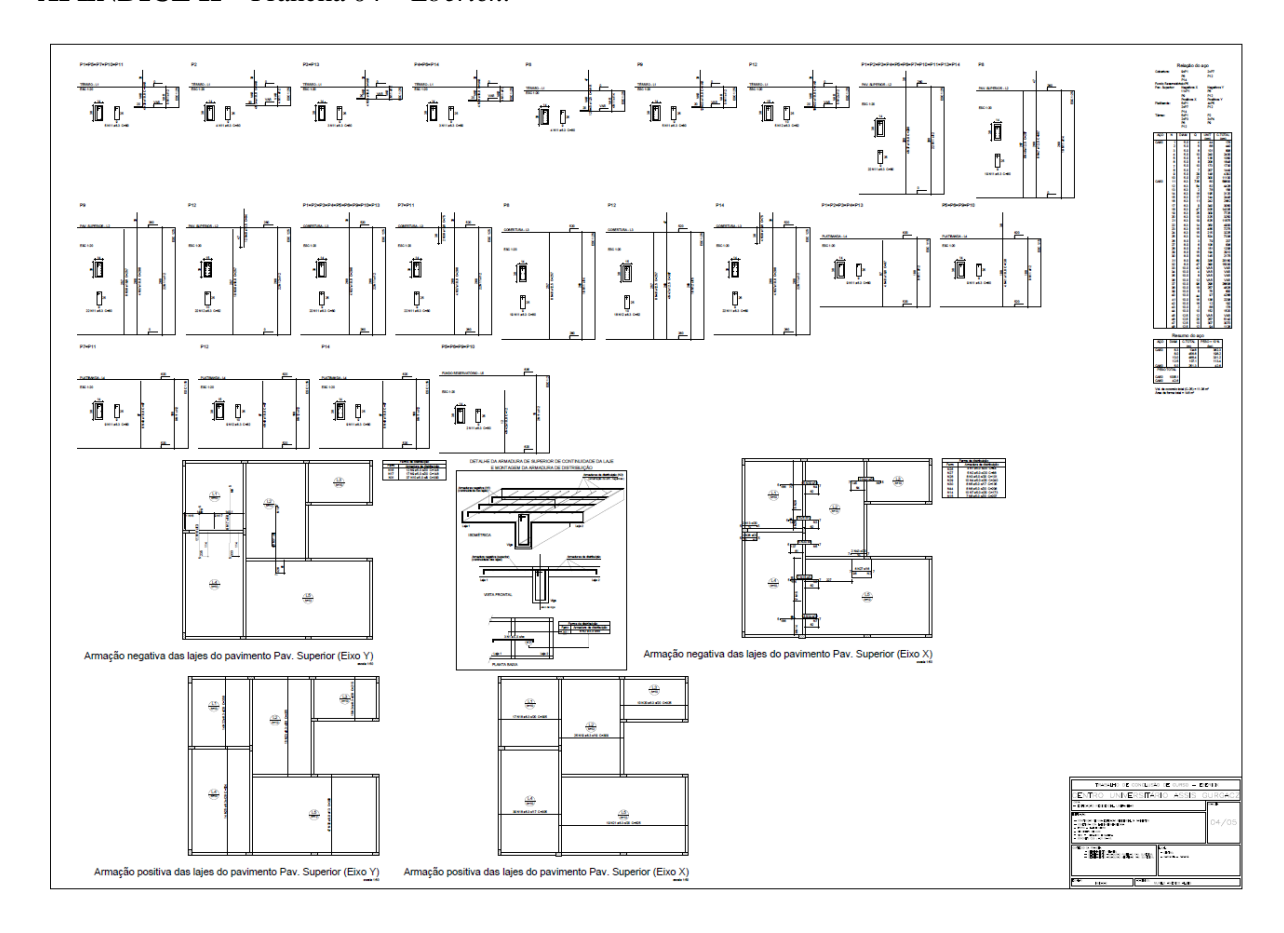
APÊNDICE F – Prancha 02 – *Eberick*.



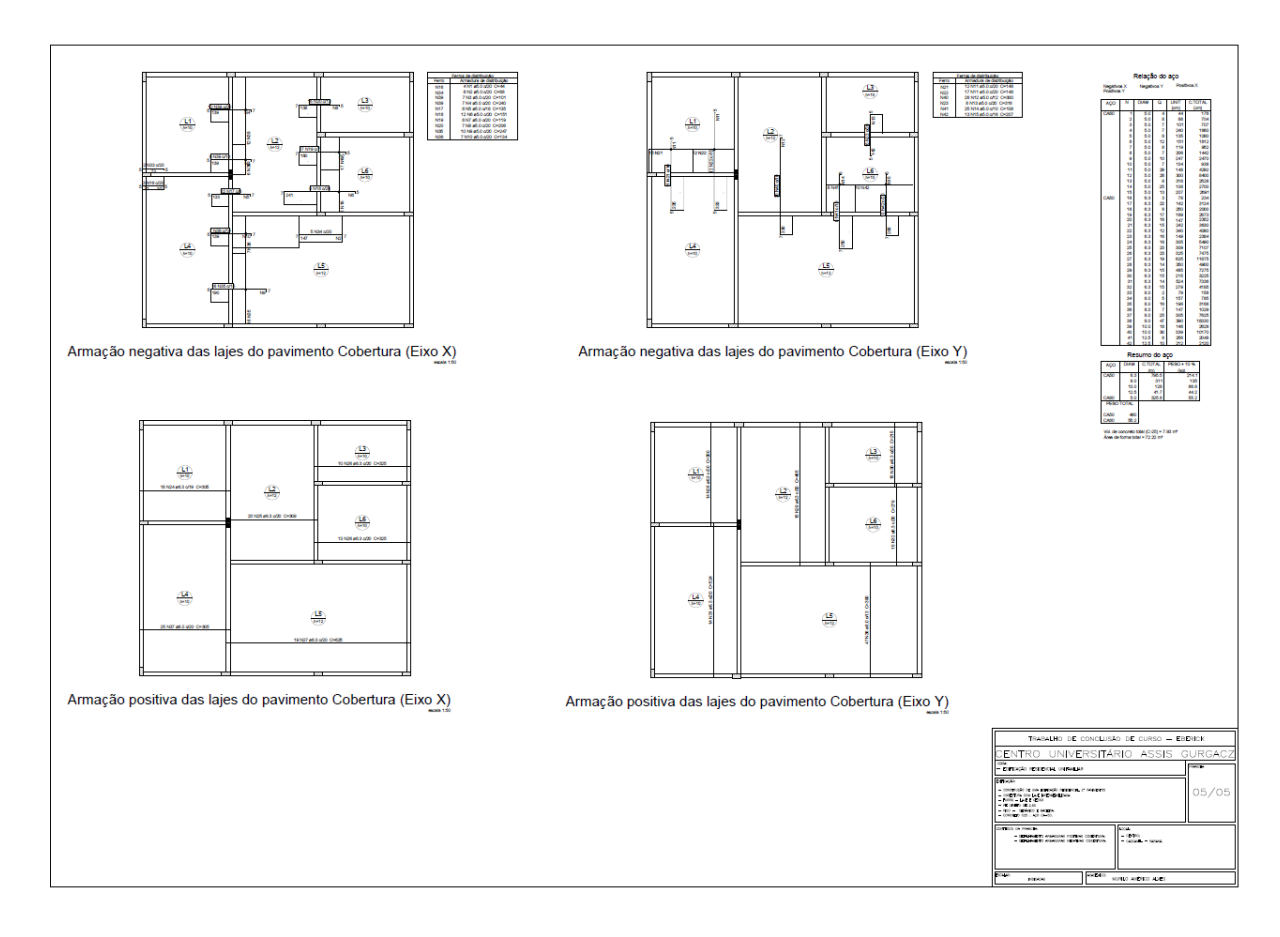
APÊNDICE G – Prancha 03 – *Eberick*.



APÊNDICE H – Prancha 04 – *Eberick*.



APÊNDICE I – Prancha 05 – *Eberick*.



ANEXO A – Peso especifico dos materiais de construção (*gk*).

	Materiais	Peso específico aparente (kN/m³)
	Arenito	26
	Basalto	30
1 Rochas	Gneiss	30
	Granito	28
	Mármore e calcáreo	28
	Blocos de argamassa	22
	Cimento amianto	20
2 Blocos	Lajotas cerâmicas	18
artificiais	Tijolos furados	13
	Tijolos maciços	18
	Tijolos sílico-calcáreos	20
	Argamassa de cal, cimento e areia	19
3 Revestimentos	Argamassa de cimento e areia	21
e concretos	Argamassa de gesso	12,5
	Concreto simples	24
	Concreto armado	25
	Pinho, cedro	5
4 Madeiras	Louro, imbuia, pau óleo	6,5
	Guajuvirá, guatambu, grápia	8
	Angico, cabriuva, ipê róseo	10
	Aço	78,5
	Alumínio e ligas	28
	Bronze	85
	Chumbo	114
5 Metais	Cobre	89
	Ferro fundido	72,5
	Estanho	74
	Latão	85
	Zinco	72
	Alcatrão	12
6 Materiais	Asfalto	13
diversos	Borracha	17
	Papel	15
	Plástico em folhas	21
	Vidro plano	26

Fonte: NBR 6120 (ABNT, 1980)

ANEXO B – Cargas acidentais (qk).

AIVEAO B Carg	· · · · · · · · · · · · · · · · · · ·	Unid.: kN/m²
	Local	Carga
1 Arquibancadas		4
2 Balcões	Mesma carga da peça com a qual se comunicam e as previstas em 2.2.1.5	-
3 Bancos	Escritórios e banheiros Salas de diretoria e de gerência	2 1,5
4 Bibliotecas	Sala de leitura Sala para depósito de livros Sala com estantes de livros a ser determinada em cada caso ou 2,5 kN/m² por metro de altura observado, porém o valor mínimo de	2,5 4 6
5 Casas de máquinas	(incluindo o peso das máquinas) a ser determinada em cada caso, porém com o valor mínimo de	7,5
6 Cinemas	Platéia com assentos fixos Estúdio e platéia com assentos móveis Banheiro	3 4 2
7 Clubes	Sala de refeições e de assembléia com assentos fixos Sala de assembléia com assentos móveis Salão de danças e salão de esportes Sala de bilhar e banheiro	3 4 5 2
8 Corredores	Com acesso ao público Sem acesso ao público	3 2
9 Cozinhas não residenciais	A ser determinada em cada caso, porém com o mínimo de	3
10 Depósitos	A ser determinada em cada caso e na falta de valores experimentais conforme o indicado em 2.2.1.3	-
11 Edifícios residenciais	Dormitórios, sala, copa, cozinha e banheiro Despensa, área de serviço e lavanderia	1,5 2

Fonte: NBR 6120 (ABNT, 1980).